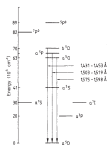




DINÁMICA DE GALAXIAS, UNA SIMULACIÓN CON $N \log N$ ITERACIONES.

Juan Barbosa



Received 3 September; accepted 25 October 1986.

2. Baran, D. F., Roushck, G. H., Pavesi, L. & Toney, R. *Appl Opt* **36**, 3661 (1997).
3. Sandlin, G. L., Raster, R. P., Roushck, G. H., Toney, R. & VanHousen, M. A.
4. Jordan, C., Bradman, G. W., Raster, R. P., Sandlin, G. L. & VanHousen, M. A.
5. Bradley, I. O. F. *J. Appl. Phys.* **42**, 4233 (1975).
6. Bradley, I. O. F. *Appl Phys Lett* **29**, 136 (1976).
7. Mott, N. F. *in: General Theory of Semiconductors: Atomic Energy Levels and Electron States* (J. L. Morhous, Ed.), Dover, 1987.
8. Raster, R. & Swanson, P. *Appl Phys Lett* **51**, 1032 (1987).
9. Raster, R. & Singer, L. *J. Appl. Phys.* **60**, 3048 (1986).
10. Clemens, R. M. *Appl. Phys. Lett.* **50**, 556 (1987).
11. Clemens, R. M. *Appl. Phys. Lett.* **51**, 1032 (1987).
12. Alkon, D. L. *Phys. Mag.* **31**, 1079 (1975).
13. Hirsch, M. & Nitz, M. *Appl. Phys. Lett.* **52**, 264 (1987).
14. Means, R. B. & Winkler, G. L. *Asymptot.* **176**, 311 (2001).
15. Hirsch, M. & Nitz, M. *Appl. Phys. Lett.* **52**, 264 (1987).
16. Casati, G. & Jona, C. *in: Preparation*.
17. Bolintineanu, R. S. *Ann. New York Acad. Sci.* **373**, 380 (1985).
18. Bolintineanu, R. S. *Phys. Rev. B* **32**, 1819 (1985).
19. Bolintineanu, R. S. *Phys. Rev. B* **32**, 1819 (1985).

Recently, some of the advantages of both approaches have been combined by using direct integrations of force while grouping together increasingly large groups of particles at increasingly large distances. This corresponds to the way humans interact with neighbouring individuals, further villages and increasingly further and larger cities, and, eventually, global communities.

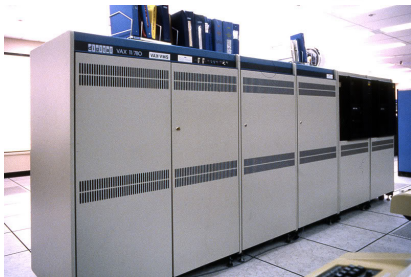


Josh Barnes



Piet Hut

INTRODUCCIÓN

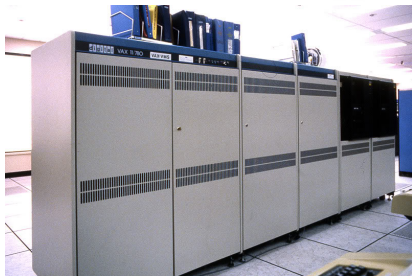


VAX 11/780

- ▶ CPU 5 MHz, 2 kB cache.
- ▶ Memoria 8 MB.

Barnes y Hut realizaron una simulación con su método.

INTRODUCCIÓN



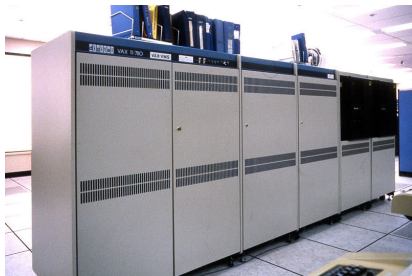
VAX 11/780

- ▶ CPU 5 MHz, 2 kB cache.
- ▶ Memoria 8 MB.

Barnes y Hut realizaron una simulación con su método.

- ▶ 4096 cuerpos.

INTRODUCCIÓN



VAX 11/780

- ▶ CPU 5 MHz, 2 kB cache.
- ▶ Memoria 8 MB.

Barnes y Hut realizaron una simulación con su método.

- ▶ 4096 cuerpos.
- ▶ 10 horas de CPU.

FUNCIONAMIENTO

El algoritmo propuesto por Barnes y Hut consta de dos pasos fundamentales, la división recursiva del espacio y aproximaciones en la fuerza sobre un cuerpo.

FUNCIONAMIENTO

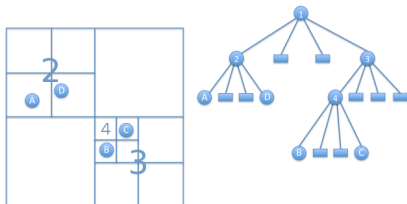
El algoritmo propuesto por Barnes y Hut consta de dos pasos fundamentales, la división recursiva del espacio y aproximaciones en la fuerza sobre un cuerpo.

1. División jerárquica del espacio. → Construcción de un árbol.

FUNCIONAMIENTO

El algoritmo propuesto por Barnes y Hut consta de dos pasos fundamentales, la división recursiva del espacio y aproximaciones en la fuerza sobre un cuerpo.

1. División jerárquica del espacio. → Construcción de un árbol.

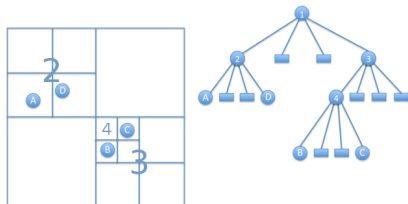


Árbol dos dimensional.

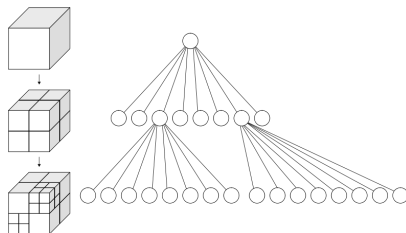
FUNCIONAMIENTO

El algoritmo propuesto por Barnes y Hut consta de dos pasos fundamentales, la división recursiva del espacio y aproximaciones en la fuerza sobre un cuerpo.

1. División jerárquica del espacio. → Construcción de un árbol.



Árbol dos dimensional.



Árbol tridimensional.

2. Fuerza sobre un cuerpo.

El número de iteraciones se reduce al considerar centros de masa, y un coeficiente de precisión τ .

2. Fuerza sobre un cuerpo.

El número de iteraciones se reduce al considerar centros de masa, y un coeficiente de precisión τ .

- Cada caja tiene una longitud específica

2. Fuerza sobre un cuerpo.

El número de iteraciones se reduce al considerar centros de masa, y un coeficiente de precisión τ .

- ▶ Cada caja tiene una longitud específica
- ▶ Un centro de masa

2. Fuerza sobre un cuerpo.

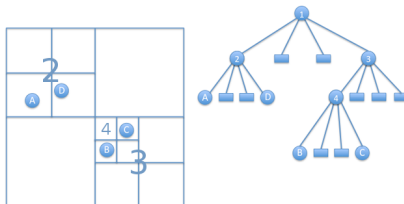
El número de iteraciones se reduce al considerar centros de masa, y un coeficiente de precisión τ .

- ▶ Cada caja tiene una longitud específica
- ▶ Un centro de masa
- ▶ Y la masa contenida

2. Fuerza sobre un cuerpo.

El número de iteraciones se reduce al considerar centros de masa, y un coeficiente de precisión τ .

- ▶ Cada caja tiene una longitud específica
- ▶ Un centro de masa
- ▶ Y la masa contenida



Pasos en el cálculo de la fuerza sobre un cuerpo. El proceso empieza desde el nodo superior.

1. Se calcula la distancia entre el centro de masa del nodo y el cuerpo.
2. Si la distancia es lo suficientemente grande, los cuerpos contenidos en el nodo se toman como un solo cuerpo.
3. De lo contrario el proceso se repite con los nodos inferiores.

Para determinar si un nodo se encuentra lo suficientemente lejos de un cuerpo.

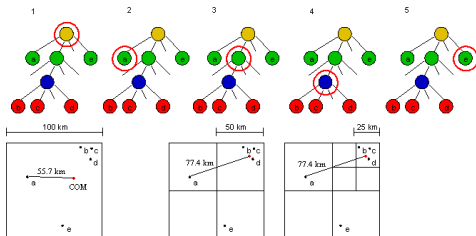
$$\tau' = \frac{s}{d} \quad (1)$$

Donde s corresponde con la longitud de la caja, y d con la distancia.

Se define un coeficiente de precisión τ para la simulación tal que:

- ▶ Si $\tau' > \tau$, el nodo es cercano.
- ▶ Si $\tau' \leq \tau$, el nodo es distante.

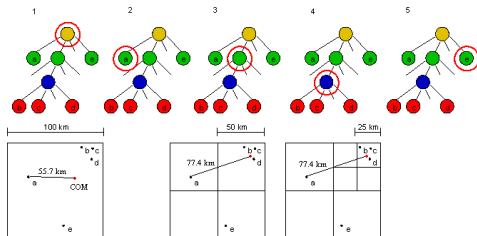
FUNCIONAMIENTO



► Coeficiente de precisión.

$$\tau = \frac{\text{size}}{\text{distance}} = 0,5$$

FUNCIONAMIENTO

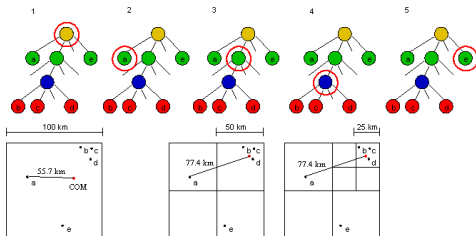


1. Nodo principal

► Coeficiente de precisión.

$$\tau = \frac{\text{size}}{\text{distance}} = 0,5$$

FUNCIONAMIENTO



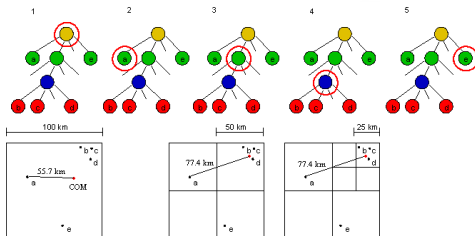
1. Nodo principal

$$\frac{s}{d} = \frac{100}{55,7} \approx 1,8 > \tau$$

► Coeficiente de precisión.

$$\tau = \frac{\text{size}}{\text{distance}} = 0,5$$

FUNCIONAMIENTO



1. Nodo principal

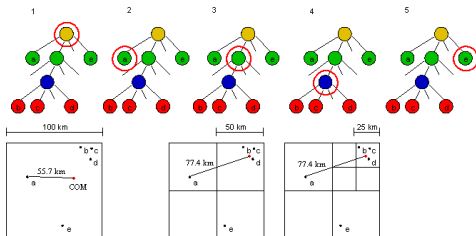
$$\frac{s}{d} = \frac{100}{55,7} \approx 1,8 > \tau$$

2. Primer nodo

► Coeficiente de precisión.

$$\tau = \frac{\text{size}}{\text{distance}} = 0,5$$

FUNCIONAMIENTO



► Coeficiente de precisión.

$$\tau = \frac{\text{size}}{\text{distance}} = 0,5$$

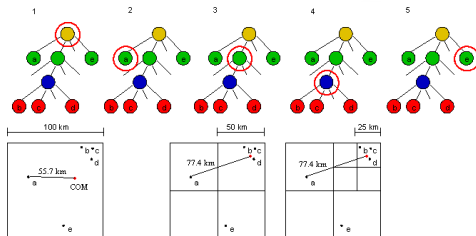
1. Nodo principal

$$\frac{s}{d} = \frac{100}{55,7} \approx 1,8 > \tau$$

2. Primer nodo

3. Segundo nodo

FUNCIONAMIENTO



► Coeficiente de precisión.

$$\tau = \frac{\text{size}}{\text{distance}} = 0,5$$

1. Nodo principal

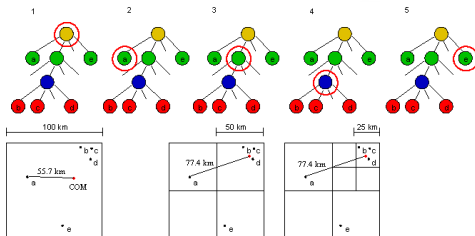
$$\frac{s}{d} = \frac{100}{55,7} \approx 1,8 > \tau$$

2. Primer nodo

3. Segundo nodo

$$\frac{s}{d} = \frac{50}{77,4} \approx 0,6 > \tau$$

FUNCIONAMIENTO



► Coeficiente de precisión.

$$\tau = \frac{\text{size}}{\text{distance}} = 0,5$$

1. Nodo principal

$$\frac{s}{d} = \frac{100}{55,7} \approx 1,8 > \tau$$

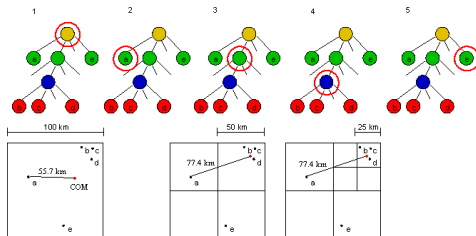
2. Primer nodo

3. Segundo nodo

$$\frac{s}{d} = \frac{50}{77,4} \approx 0,6 > \tau$$

4. Segundo nodo

FUNCIONAMIENTO



► Coeficiente de precisión.

$$\tau = \frac{\text{size}}{\text{distance}} = 0,5$$

1. Nodo principal

$$\frac{s}{d} = \frac{100}{55,7} \approx 1,8 > \tau$$

2. Primer nodo

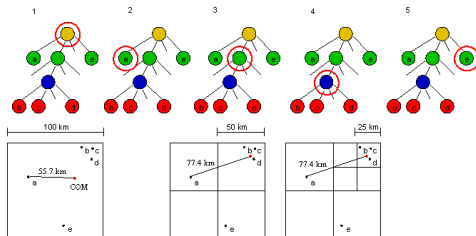
3. Segundo nodo

$$\frac{s}{d} = \frac{50}{77,4} \approx 0,6 > \tau$$

4. Segundo nodo

$$\frac{s}{d} = \frac{25}{77,4} \approx 0,3 < \tau$$

FUNCIONAMIENTO



► Coeficiente de precisión.

$$\tau = \frac{\text{size}}{\text{distance}} = 0,5$$

1. Nodo principal

$$\frac{s}{d} = \frac{100}{55,7} \approx 1,8 > \tau$$

2. Primer nodo

3. Segundo nodo

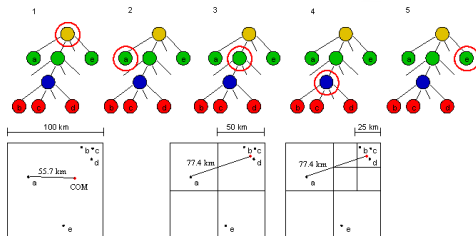
$$\frac{s}{d} = \frac{50}{77,4} \approx 0,6 > \tau$$

4. Segundo nodo

$$\frac{s}{d} = \frac{25}{77,4} \approx 0,3 < \tau$$

5. Cuarto nodo

FUNCIONAMIENTO



► Coeficiente de precisión.

$$\tau = \frac{\text{size}}{\text{distance}} = 0,5$$

1. **Nodo principal**

$$\frac{s}{d} = \frac{100}{55,7} \approx 1,8 > \tau$$

2. **Primer nodo**

3. **Segundo nodo**

$$\frac{s}{d} = \frac{50}{77,4} \approx 0,6 > \tau$$

4. **Segundo nodo**

$$\frac{s}{d} = \frac{25}{77,4} \approx 0,3 < \tau$$

5. **Cuarto nodo**

Nodo externo, contribuye

FUNCIONAMIENTO

La construcción del árbol se realiza para cada instante de tiempo.

Observación

FUNCIONAMIENTO

La construcción del árbol se realiza para cada instante de tiempo.

Todas las cajas

FUNCIONAMIENTO

La construcción del árbol se realiza para cada instante de tiempo.

Cajas con una partícula

CONSTRUCCIÓN DE UNA SIMULACIÓN

1. Descripción del sistema.

CONSTRUCCIÓN DE UNA SIMULACIÓN

1. Descripción del sistema.
2. Condiciones iniciales.

CONSTRUCCIÓN DE UNA SIMULACIÓN

1. Descripción del sistema.
2. Condiciones iniciales.
3. Solución de las ecuaciones.

CONSTRUCCIÓN DE UNA SIMULACIÓN

1. Descripción del sistema.
2. Condiciones iniciales.
3. Solución de las ecuaciones.
4. Visualización.

DESCRIPCIÓN DEL SISTEMA

Usando la ley de gravitación universal:

$$\vec{F}_i = m_i \vec{a}_i = - \sum_{j \neq i}^N G \frac{m_i m_j}{|\vec{r}_i - \vec{r}_j|^3} (\vec{r}_i - \vec{r}_j) \quad (2)$$

DESCRIPCIÓN DEL SISTEMA

Usando la ley de gravitación universal:

$$\vec{F}_i = m_i \vec{a}_i = - \sum_{j \neq i}^N G \frac{m_i m_j}{|\vec{r}_i - \vec{r}_j|^3} (\vec{r}_i - \vec{r}_j) \quad (2)$$

es posible obtener las ecuaciones que describen la dinámica del sistema.

DESCRIPCIÓN DEL SISTEMA

Usando la ley de gravitación universal:

$$\vec{F}_i = m_i \vec{a}_i = - \sum_{j \neq i}^N G \frac{m_i m_j}{|\vec{r}_i - \vec{r}_j|^3} (\vec{r}_i - \vec{r}_j) \quad (2)$$

es posible obtener las ecuaciones que describen la dinámica del sistema.

$$\ddot{\vec{r}}_i = - \sum_{j \neq i}^N G \frac{m_j}{(|\vec{r}_i - \vec{r}_j|^2 + \epsilon^2)^{3/2}} (\vec{r}_i - \vec{r}_j) \quad (3)$$

donde ϵ corresponde con el *softening length*.

CONDICIONES INICIALES

Suponiendo órbitas circulares y teniendo en cuenta la masa encerrada en las órbitas de menor tamaño:

$$v \approx \sqrt{\frac{GM(r)}{r}} \quad (4)$$

CONDICIONES INICIALES

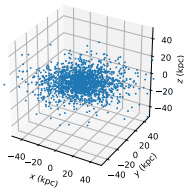
Suponiendo órbitas circulares y teniendo en cuenta la masa encerrada en las órbitas de menor tamaño:

$$v \approx \sqrt{\frac{GM(r)}{r}} \quad (4)$$

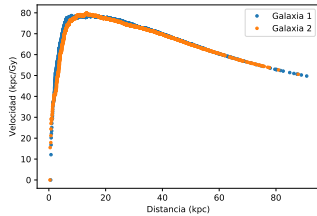
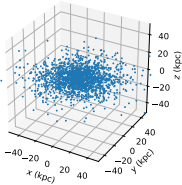
En coordenadas polares:

$$\begin{aligned} x = r \cos(\theta) &\longrightarrow \dot{x} = -r \sin(\theta) = -y \\ y = r \sin(\theta) &\longrightarrow \dot{y} = r \cos(\theta) = x \\ z = z &\longrightarrow \dot{z} = \dot{z} \quad ??? \end{aligned} \quad (5)$$

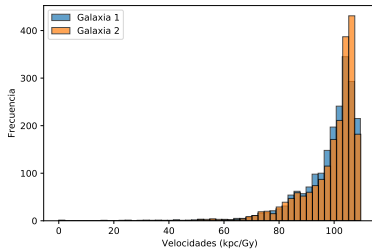
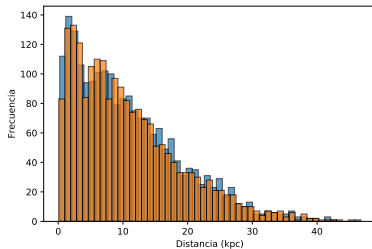
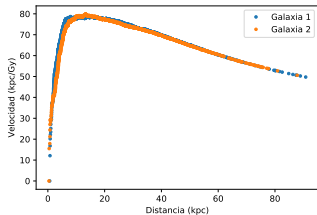
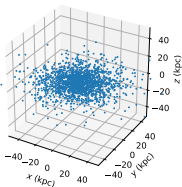
CONDICIONES INICIALES



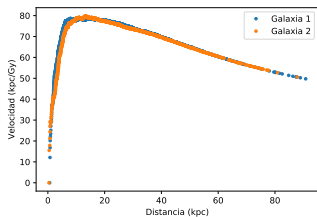
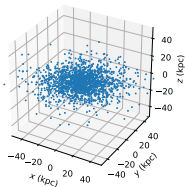
CONDICIONES INICIALES



CONDICIONES INICIALES



CONDICIONES INICIALES



- ▶ $G = 44.97 (10^7 \text{ M}_{\odot}^{-1} \text{ kpc}^3 \text{ Gy}^{-2})$
- ▶ Tamaño $\approx 80 \text{ (kpc)}$
- ▶ $m = 2.44 (10^7 \text{ M}_{\odot})$
- ▶ $N = 4096$
- ▶ $\epsilon = 0.055$

SOLUCIÓN DE LAS ECUACIONES

LEAPFROG

La solución numérica a las ecuaciones diferenciales se obtiene usando el método de *Leapfrog*, el cual avanza asincrónicamente en la posición y la velocidad.

$$\begin{aligned}v_{i+1/2} &= v_i + a_i \frac{\Delta t}{2} \\x_{i+1} &= x_i + v_{i+1/2} \Delta t \\v_{i+1} &= v_{i+1/2} + a_{i+1} \frac{\Delta t}{2}\end{aligned}\tag{6}$$

La visualización de los resultados se realiza usando animaciones de las posiciones en función del tiempo. También se obtiene información de las curvas de rotación, distribución de masa y velocidades.

Binding de `bruteforce.c` para Python.

C Programming Language

- ▶ `init.c`: configura las variables globales de la simulación (N, m, G, ϵ, τ), los arrays de posiciones y velocidades.
- ▶ `box.c`: contiene las funciones propias del árbol y sus cajas.
- ▶ `bruteforce.c`: resuelve las ecuaciones diferenciales, y genera archivos de datos.

Python

- ▶ `core.py`: contiene la clase `Galaxy` y `Simulation`, las cuales generan condiciones iniciales y realizan la interfaz con C.

EJECUCIÓN DE LA SIMULACIÓN

```
from core import *

N = 1096
M_T = 5e15/1e7
M = 2.0*M_T/M_star_galaxies
G = 44.97
epsilon = 0.1

system, speeds = example(N, M, G, epsilon)

sim = simulation(M, G, epsilon, tolerance = 1.0, pos = system, speeds = speeds)
sim.start(0, 1.0, 0.0)

data = read_output()

###
plotting
###
import numpy as np
from glob import glob
import matplotlib.pyplot as plt
from mpl_toolkits.mplot3d import Axes3D
from matplotlib.animation import FuncAnimation

fig = plt.figure()
ax = fig.gca(projection='3d')
ax.set_aspect('equal')
# plot1 = ax.plot(system[0], system[1], system[2], "o", ms=0.5, c='g', alpha = 0.5)[0]
plot1 = ax.plot([], [], [], "o", ms=0.5, c='g', alpha = 0.5)[0]
plot2 = ax.plot([], [], [], "o", ms=0.5, c='b', alpha = 0.5)[0]
ax.set_xlabel("xzs kpc")
ax.set_ylabel("yys kpc")
ax.set_zlabel("zys kpc")
N_first = int(0.3*N)

def update(i):
    temp = data[i]
    plot1.set_data(temp[N_first:0], temp[N_first:1])
    plot1.set_3d_properties(temp[N_first:2])
    plot2.set_data(temp[N_first:0], temp[N_first:1])
    plot2.set_3d_properties(temp[N_first:2])
```

Python script

1. galaxy1, galaxy2, system, speeds = example(N, M, G)

EJECUCIÓN DE LA SIMULACIÓN

```
from core import *

N = 1096
M_T = 5e15/1e7
M = 2.0*M_T/M_star_galaxies
G = 44.97
epsilon = 0.1

system, speeds = example(N, M, G, epsilon)

sim = simulation(M, G, epsilon, tolerance = 1.0, pos = system, speeds = speeds)
sim.start(0, 1.0, 0.0)

data = read_output()

###
plotting
###

import numpy as np
from glob import glob
import matplotlib.pyplot as plt
from mpl_toolkits.mplot3d import Axes3D
from matplotlib.animation import FuncAnimation

fig = plt.figure()
ax = fig.gca(projection='3d')
ax.set_aspect('equal')
# plot1 = ax.plot(system[0], system[1], system[2], "o", msv=0.5, c="g", alpha = 0.5)[0]
plot1 = ax.plot([], [], [], "o", ms=0.5, c="g", alpha = 0.5)[0]
plot2 = ax.plot([], [], [], "o", ms=0.5, c="b", alpha = 0.5)[0]
ax.set_xlabel("xzs kpc")
ax.set_ylabel("yys kpc")
ax.set_zlabel("zys kpc")
N_first = int(0.5*N)

def update(i):
    temp = data[i]
    plot1.set_data(temp[N_first:0], temp[N_first:1])
    plot1.set_3d_properties(temp[N_first:2])
    plot2.set_data(temp[N_first:0], temp[N_first:1])
    plot2.set_3d_properties(temp[N_first:2])
```

Python script

1. galaxy1, galaxy2, system, speeds = example(N, M, G)
2. sim = Simulation(M, G, system, speeds, epsilon, tolerance = 1.0, threads = -1)

EJECUCIÓN DE LA SIMULACIÓN

```
from core import *

N = 1096
M_T = 5e15/1e7
M = 2.0*M_T/M_star_galaxies
G = 44.97
epsilon = 0.1

system, speeds = example(N, M, G, epsilon)

sim = simulation(M, G, epsilon, tolerance = 1.0, pos = system, speeds = speeds)
sim.start(0.0, 1.0, 0.01)

data = read_output()

###
plotting
###
import numpy as np
from glob import glob
import matplotlib.pyplot as plt
from mpl_toolkits.mplot3d import Axes3D
from matplotlib.animation import FuncAnimation

fig = plt.figure()
ax = fig.gca(projection='3d')
ax.set_aspect('equal')
# plot1 = ax.plot(system[0], system[1], system[2], "o", msv=0.5, c="g", alpha = 0.5)[0]
plot1 = ax.plot([], [], [], "o", ms=0.5, c="g", alpha = 0.5)[0]
plot2 = ax.plot([], [], [], "o", ms=0.5, c="b", alpha = 0.5)[0]
ax.set_xlabel("xzs kpc")
ax.set_ylabel("yys kpc")
ax.set_zlabel("zys kpc")
N_first = int(0.5*N)

def update(i):
    temp = data[i]
    plot1.set_data(temp[N_first:0], temp[N_first:1])
    plot1.set_3d_properties(temp[N_first:2])
    plot2.set_data(temp[N_first:0], temp[N_first:1])
    plot2.set_3d_properties(temp[N_first:2])
```

Python script

1. galaxy1, galaxy2, system, speeds = example(N, M, G)
2. sim = Simulation(M, G, system, speeds, epsilon, tolerance = 1.0, threads = -1)
3. sim.start(0.0, 1.0, 0.01)

EJECUCIÓN DE LA SIMULACIÓN

Galaxy dynamics

by [CompuCienciasUniandes](#)
[Juan Barbosa](#)

Librerías

```
In [1]: import numpy as np
from core import *
from glob import glob
import matplotlib.pyplot as plt
from mpl_toolkits.mplot3d import Axes3D
from matplotlib.animation import FuncAnimation
```

Sistema

El problema de N cuerpos

Para tres o más cuerpos que interactúan entre sí gravitacionalmente, resulta imposible la predicción analítica de los movimientos de forma individual. Lo anterior supone una gran oportunidad para los métodos numéricos, en donde el problema estará restringido a la capacidad de cómputo disponible. En ese sentido para un sistema de N cuerpos es necesario iterar $\frac{1}{2}N(N-1)$ veces para obtener la totalidad de fuerzas actuando sobre cada cuerpo.

$$F_i = - \sum_{j \neq i}^N \frac{Gm_i m_j}{|\vec{r}_{ij}|^3} (\vec{r}_i - \vec{r}_j)$$

Python
Notebook

Disponible en:

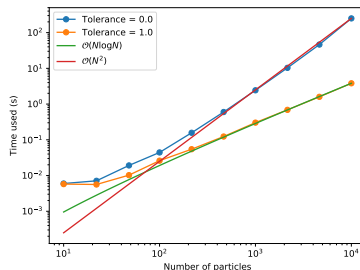
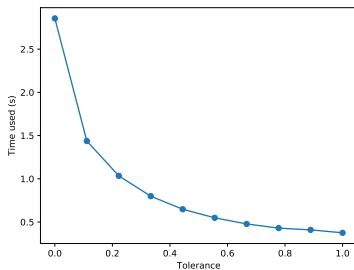
<https://github.com/CompuCienciasUniandes/Demonstrations/tree/master/GalaxyDynamics>

RESULTADOS

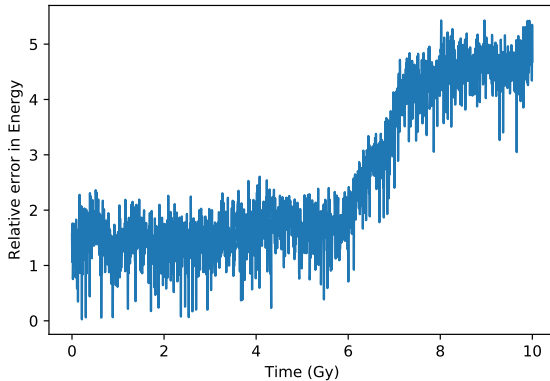
RESULTADOS

RESULTADOS

Efecto del coeficiente de precisión en el tiempo de cómputo.



Conservación de la energía para $\tau = 1,0$.



CONCLUSIONES

- ▶ El método de Barnes y Hut constituye una buena aproximación para las interacciones gravitacionales de N cuerpos.
- ▶ El orden del algoritmo es $\mathcal{O}(N \log N)$.
- ▶ El costo computacional disminuye exponencialmente con el valor de τ .